

# ТЕМПЕРАТУРНАЯ ЗАВИСИМОСТЬ КРИТИЧЕСКОГО ТОКА ГРАНУЛИРОВАННОЙ СВЕРХПРОВОДЯЩЕЙ СРЕДЫ

*В.Ф.Гантмахер<sup>1)</sup>, В.Н.Зверев, В.М.Теплинский*

*Институт физики твердого тела РАН  
142432 Черноголовка, Московская обл., Россия*

Поступила в редакцию 26 мая 1994 г.

Показано, что в сетке из джозефсоновских и туннельных контактов, в которой последние преобладают, может возникнуть неоднородное распределение тока. Критическое значение плотности среднего тока, при котором джозефсоновские связи разрушаются, будет из-за этого падать с понижением температуры.

Температурная зависимость максимального джозефсоновского тока  $i_m(T)$  через туннельный барьер описывается хорошо известной формулой Амбегоакара и Баратоффа [1]

$$i_m(T) = \frac{\pi}{4} \frac{2\Delta(T)}{er} \operatorname{th} \frac{\Delta(T)}{2T}, \quad (1)$$

где  $r$  – сопротивление барьера выше температуры  $T_c$ , при нормальных берегах, а  $\Delta(T)$  – величина сверхпроводящей щели. Согласно (1), величина  $i_m(T)$  при понижении температуры сначала растет, а затем выходит на предельное значение

$$i_m(0) = \frac{\pi}{4} \frac{2\Delta(0)}{er}, \quad i_m(T_c/2) \approx 0,9i_m(0). \quad (2)$$

Можно было бы ожидать, что в гранулированных сверхпроводниках, представляющих из себя среду с большим количеством туннельных контактов, критический ток в среде  $I_m$  будет также меняться с температурой по формуле (1). Однако, в работе [2] на металлооксидном сверхпроводнике Pb-Ba-Bi-O был обнаружен максимум у функции  $I_m(T)$ . Позднее подобный максимум наблюдали на высокотемпературном сверхпроводнике K-Ba-Bi-O [3] и на высокорезистивном метастабильном сплаве Zn-Sb [4]. В двух последних случаях имел место квазивозвратный сверхпроводящий переход [5], то есть сопротивление ниже  $T_c$  нигде не обращалось в нуль, а "квази-джозефсоновский" участок на вольт-амперной характеристике соответствовал сравнительно малому, но конечному сопротивлению.

Вопрос заключается в том, является ли наблюдаемый максимум отражением свойств отдельного контакта или проявлением свойств сетки таких контактов.

Формула (1) предполагает туннелирование электронов и куперовских пар через пространство, разделяющее сверхпроводники. Однако механизм проводимости через это пространство может быть более сложным. В нем могут принимать участие электронные состояния (локализованные или делокализованные) внутри промежутка. Известен один, правда, весьма специфический пример [6], когда функция  $i_m(T)$  имеет максимум: при туннелировании пар через вырожденный полупроводник с температурой вырождения порядка температуры сверхпроводящего перехода  $T_c$ . В то же время, в работах [7, 8], где

<sup>1)</sup>e-mail: gantm@gantm.chg.free.net.

рассматривались случаи изолирующего промежутка с резонансными уровнями и с прыжковой проводимостью, полученные зависимости  $i_m(T)$  не имеют максимума.

Предположение в [1] о чисто туннельном механизме прохождения электронов и куперовских пар через контакт означает отсутствие температурной зависимости  $r$  выше  $T_c$ , так как вероятность туннелирования электронов не зависит от температуры. Во всех упоминавшихся выше экспериментах сверхпроводящему переходу предшествует рост  $r$  с понижением  $T$ . Кажется естественным подставлять в (1) значение  $r$ , зависящее от температуры. Его можно определить либо экстраполяцией, либо разрушая сверхпроводимость берегов контакта магнитным полем. Рост  $r$  с понижением  $T$  может привести, на фоне  $\Delta(T) \approx \text{const}$ , к падению  $i_m$ . Известен и эксперимент [9], в котором наблюдался максимум  $i_m(T)$  на одиночных пленочных переходах Sn-SnO-Sn. Заметим, что SnO является примером "неидеального" изолятора, для которого может оказаться неприменимой теория [1]. Однако, в нем заведомо не реализуются и условия, сформулированные в [6], а других оснований для подстановки в (1) в качестве  $r$  функции, зависящей от  $T$ , нет.

Оставляя в стороне гипотетическую возможность положительной производной  $di_m/dT$  у одиночного контакта, обратимся к обсуждению роли ансамбля контактов. Цель настоящей работы - показать, что даже при обычной зависимости типа (1) тока  $i_m(T)$  через отдельные контакты, критический ток  $I_m(T)$  через случайную сетку контактов, часть из которых находится в джозефсоновском состоянии, может иметь максимум. При этом под  $I_m$  понимается значение тока, при котором сопротивление среды начинает пороговым образом возрастать, возможно, и из ненулевого значения.

Рассмотрим совокупность сверхпроводящих зерен с туннельными связями между ними. Пусть малая доля  $\alpha \ll 1$  этих связей с нормальными сопротивлениями  $r_1$  находится в джозефсоновском ( $j$ -) состоянии, а остальные имеют нормальное сопротивление  $r \gg r_1$  и через них течет туннельный ( $t$ -) одиночичный ток . Отсутствие  $j$ -тока через большинство контактов, вероятно, связано с тем, что величина  $r$  превышает критическое значение  $r_{cr} = (\pi/2)(\hbar/e^2)$  [10–12]. Может оказаться, что с  $r_{cr}$  следует сравнивать функцию  $r(T)$  и что в части контактов  $j$ -состояние будет разрушаться при уменьшении  $T$ , а  $\alpha$  будет падать . Это – вторая возможность объяснения падения  $I_m$ . Мы будем считать, однако, что  $\alpha$  не зависит от  $T$ .

На рис.1 приведены известные  $j$ - и  $t$ -характеристики контакта с нормальным сопротивлением  $r$ . Первая описывается формулой

$$i = [i_m^2 + (U/r)^2]^{1/2}, \quad (3)$$

вторая на нижнем участке имеет сопротивление порядка [13]

$$r_t = r(T/\Delta) \exp(\Delta/T). \quad (4)$$

Пусть средний ток через контакты мал, так что на  $t$ -характеристиках мы находимся на участках (4). Но  $j$ -связи, обладая нулевым сопротивлением, будут пропускать через себя гораздо больший ток. Это увеличит ток через  $z_1$   $t$ -связей, непосредственно примыкающих с каждой стороны к рассматриваемой  $j$ -связи, и переведет их с нижнего участка  $t$ -характеристики на ее круто восходящую часть, уменьшив тем самым сопротивление каждой  $t$  связи. Общее

уменьшение сопротивления этого участка приведет к увеличению тока через него и, как следствие, уменьшит сопротивление второго слоя из  $z_2 \approx z_1^2$  связей, и так далее, пока ток через  $j$ -связь не станет порядка  $i_m$ . При этом каждая из  $z_1$   $t$ -связей первого слоя будет нести ток  $i_m/z_1$  и обладать сопротивлением  $r z_1$ , а общее сопротивление слоя будет  $r$ . То же самое справедливо и для следующих слоев. Результирующее сопротивление каждого из них будет порядка  $r$  до тех пор, пока средний ток через связи в очередном слое не станет меньше  $2\Delta/e r_t$ .

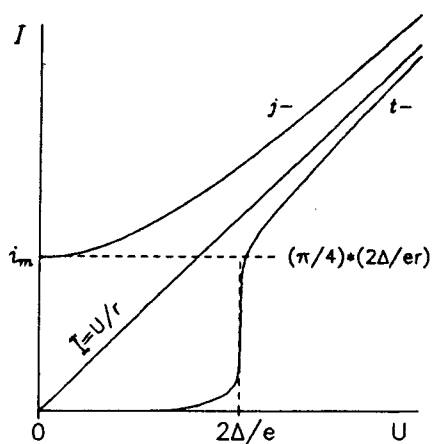


Рис.1

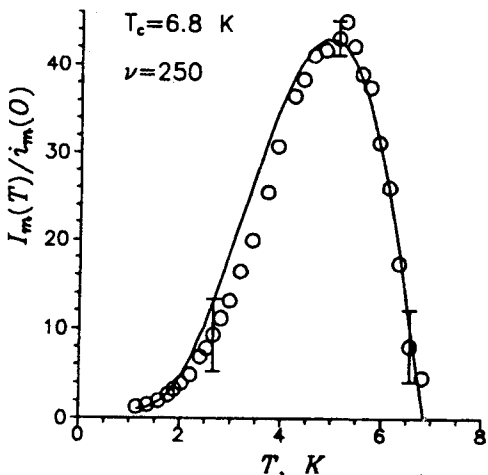


Рис.2

Рис.1. Джозефсоновская ( $j$ -) и туннельная ( $t$ -) характеристики контакта между двумя одинаковыми сверхпроводниками, имеющего нормальное сопротивление  $r$

Рис.2. Сравнение функции (6) с экспериментальными данными из работы [4] для сплава  $Zn_{41}Sb_{59}$  в метастабильном состоянии с эффективным удельным сопротивлением порядка  $10 \text{ Ом}\cdot\text{см}$

Таким образом, в среде, характеризуемой экспоненциально большими сопротивлениями связей  $r_t$ , вокруг  $j$ -связей возникают области с характерными сопротивлениями  $r \ll r_t$ . Смоделируем среднее сопротивление среды включенным параллельно сопротивлением  $r$  и  $\nu$  сопротивлениями  $r_t$ . Ток  $I$  через такой пакет связан с током  $i$  через сопротивление  $r$  соотношением

$$I = i \frac{\nu r + r_t}{r_t} = i \left( 1 + \nu \frac{\Delta}{T} \exp \left( -\frac{\Delta}{T} \right) \right). \quad (5)$$

Когда  $i$  достигает критического значения  $i_m$  и, соответственно,

$$I = I_m = i_m \left( 1 + \nu \frac{\Delta}{T} \exp \left( -\frac{\Delta}{T} \right) \right), \quad (6)$$

то неоднородная структура тока начинает разрушаться, а эффективное сопротивление образца быстро растет. Если подставить в (6) функцию  $\Delta(T)$  из теории БКШ с экспериментальным значением  $T_c = 6,8 \text{ K}$  и функцию  $i_m(T)$  из (1), то получим выражение с одним свободным параметром  $\nu$ , которое мы сравнили с экспериментальной кривой из [4] - см. рис.2, где  $\nu = 250$ .

В приведенных рассуждениях  $j$ -связь выступает как затравка, вокруг которой формируется область малого сопротивления. По-видимому, существенно, что затравкой выступает именно  $j$ -связь. В сетке, состоящей из одних только  $t$ -связей, неоднородное распределение тока приводит к увеличению диссипации, которое должно быть скомпенсировано за счет отсутствия диссипации в  $j$ -связи. Более того, возможно, что одиночная  $j$ -связь недостаточно эффективна и в качестве затравки пригоден лишь кластер из нескольких  $j$ -связей. Это могло бы объяснить большую величину параметра  $\nu$ , который пришлось подставить в формулу (6) при сравнении с экспериментом (см. рис.2).

Действительно, в описанном в [4] эксперименте при температурах порядка  $0,9T_c$ , когда  $r_t \approx r$ , общее сопротивление образца падает почти в 2 раза по сравнению с нормальным. То, что это падение исчезает при сравнительно небольшом увеличении измерительного тока (см. рис.1 в [4]), подтверждает, что оно вызвано именно  $j$ -токами. В соответствии с величиной падения тока примем в качестве оценки доли  $j$ -связей  $\alpha \approx 0,1$  (при  $\alpha \approx 0,15$  возникает бесконечный сверхпроводящий кластер, а при гораздо меньших  $\alpha$  из аппроксимации эффективной среды [14] следует, что  $\Delta R/R \approx 1 - 3\alpha$ ). В простой кубической решетке, где каждая связь контактирует с 10 другими, число кластеров из одной  $j$ -связи, нормированное на полное число связей, равно  $\alpha(1 - \alpha)^{10} \approx 0,035$ , то есть один такой кластер приходится на  $\nu_1 \approx 30$  связей исходной решетки. Для кластеров из двух и трех  $j$ -связей соответствующие числа равны [15]

$$\nu_2 = [5\alpha^2(1 - \alpha)^{14}]^{-1} \approx 90 \quad \text{и} \quad \nu_3 \approx 210,$$

то есть того же порядка, что и число  $\nu$  на рис.2.

Итак, в нелинейной среде, состоящей из  $j$ - и  $t$ -контактов, может возникнуть неоднородное распределение тока, причем такая неоднородность усиливается с понижением температуры. Это приводит к падению критического значения среднего тока, при котором разрушается сверхпроводящий ток через  $j$ -контакты и эффективное сопротивление среды начинает быстро возрастать.

Авторы благодарны М.В.Фейгельману за обсуждение результатов. Работа частично финансировалась Международным научным фондом (грант RE.7000) и Фондом фундаментальных исследований России (проект 93-02-3271).

- 
1. V.Ambegoakar and A.Baratoff, Phys. Rev. Lett. **11**, 104 (1963).
  2. T.H.Lin, X.Y.Shao, M.K.Wu et al., Phys. Rev. B **29**, 1493 (1984).
  3. Н.В.Аншукова, В.Б.Гинодман, А.И.Головашкин и др., ЖЭТФ **97**, 1635 (1990).
  4. В.Ф.Гантмахер, В.Н.Зверев, В.М.Теплинский, О.И.Баркалов, Письма в ЖЭТФ **59**, 418 (1994).
  5. M.Kunichur, Y.Z.Zhang, P.Lindenfeld et al., Phys. Rev. B **36**, 4062 (1987).
  6. И.Ф.Ицкович, Р.И.Шехтер, ФНТ **7**, 863 (1981).
  7. Л.Г.Асламазов, М.В.Фистуль, ЖЭТФ **83**, 1170 (1982).
  8. И.А.Девятов, М.Ю.Куприянов, ЖЭТФ **104**, 3897 (1993).
  9. H.Akoh, O.Liengme, M.Jansiti et al., Phys. Rev. B **33**, 2038 (1986).
  10. A.Schmid, Phys. Rev. Lett. **51**, 1506 (1983).
  11. С.А.Булгадаев, Письма в ЖЭТФ **39**, 264 (1984).
  12. F.Guniea, V.Hakim, and A.Muramatsu, Phys. Rev. Lett. **54**, 263 (1985).
  13. В.Ф.Гантмахер, В.Н.Зверев, В.М.Теплинский и др., ЖЭТФ **104**, 3217 (1993).
  14. S.Kirkpatrick, Rev. Mod. Phys. **45**, 574 (1973).
  15. D.Stauffer. Introduction to Percolation Theory. Taylor & Francis, 1985.